

Санкт-Петербургский политехнический университет
Петра Великого
Физико-механический институт
Высшая школа прикладной математики и вычислительной
физики

Отчёт
по лабораторным работам №1-4
по дисциплине
«Математическая статистика»

Выполнил студент:
Тасаков Антон Павлович
группа:
5030102/10201
Проверил:
доцент
Баженов Александр Николаевич

Санкт-Петербург
2024

Содержание

1	Постановка задачи	4
1.1	Часть 1	4
1.2	Часть 2	4
1.3	Часть 3	4
1.4	Часть 4	4
2	Теория	5
2.1	Функции распределения	5
2.2	Характеристики положения	5
2.3	Бокс-плот Тьюки	6
2.4	Доверительные интервалы для параметров нормального рас- пределения	7
2.4.1	Доверительный интервал для среднего значения m нор- мального распределения	7
2.4.2	Доверительный интервал для среднего квадратического отклонения нормального распределения	7
2.4.3	Доверительный интервал для среднего значения m про- извольной генеральной совокупности при большом объ- ёме выборки	8
2.4.4	Доверительный интервал для среднего квадратическо- го отклонения произвольной генеральной совокупности при большом объёме выборки	9
3	Описание работы	9
4	Результаты	10
4.1	Гистограммы и графики плотности распределения	10
4.2	Характеристики положения	11
4.3	Бокс-плот Тьюки	14
4.4	Доверительные интервалы для параметров распределений	15
5	Обсуждение	18

Список иллюстраций

1	Нормальное распределение (1)	10
2	Распределение Коши (2)	10
3	Распределение Стьюдента (3)	10
4	Распределение Пуассона (4)	11
5	Равномерное распределение (5)	11
6	Бокс-плот Тьюки для нормального распределения (1)	14
7	Бокс-плот Тьюки для распределения Коши (2)	14
8	Бокс-плот Тьюки для распределения Стьюдента (3)	14
9	Бокс-плот Тьюки для распределения Пуассона (4)	15
10	Бокс-плот Тьюки для равномерного распределения (5)	15
11	Гистограммы и оценки для параметров нормального распределения	16
12	Гистограммы и оценки для параметров распределения Коши	16
13	Гистограммы и оценки для параметров распределения Стьюдента	17
14	Гистограммы и оценки для параметров распределения Пуассона	17
15	Гистограммы и оценки для параметров равномерного распределения	17

Список таблиц

1	Нормальное распределение	11
2	Распределение Коши	12
3	Распределение Стюдента	12
4	Распределение Пуассона	13
5	Равномерное распределение	13
6	Доверительные интервалы для параметров нормального рас- пределения	15
7	Доверительные интервалы для параметров распределения Коши	15
8	Доверительные интервалы для параметров распределения Стю- дента	16
9	Доверительные интервалы для параметров распределения Пуас- сона	16
10	Доверительные интервалы для параметров равномерного рас- пределения	16

1 Постановка задачи

1.1 Часть 1

Для 5 распределений:

- Нормальное распределение $N(x, 0, 1)$
- распределение Коши $C(x, 0, 1)$
- Распределение Стьюдента $t(x, 0, 3)$ с тремя степенями свободы
- Распределение Пуассона $P(k, 10)$
- Равномерное распределение $U(x, -\sqrt{3}, \sqrt{3})$

Сгенерировать выборки размером 10, 50, 1000 элементов.

Построить на одном рисунке гистограмму и график плотности распределения.

1.2 Часть 2

Сгенерировать выборки размером 10, 100, 1000 элементов.

Для каждой выборки вычислить следующие статистические характеристики положения данных: \bar{x} , $med\ x$, z_Q , z_R , z_{tr} . Повторить такие вычисления 1000 раз для каждой выборки и найти среднее характеристик положения и их квадратов: $E(z) = \bar{z}$. Вычислить оценку дисперсии по формуле $D(z) = \overline{z^2} - \bar{z}^2$.

1.3 Часть 3

Для данных распределений сгенерировать выборки размером 20 и 100 элементов. Построить для них боксплот Тьюки.

1.4 Часть 4

Для данных распределений сгенерировать выборки размером 20 и 100 элементов. Вычислить параметры положения и рассеяния. Представить результаты графически.

2 Теория

2.1 Функции распределения

- Нормальное распределение

$$N(x, 0, 1) = \frac{1}{\sqrt{2\pi}} e^{\frac{-x^2}{2}} \quad (1)$$

- Распределение Коши

$$C(x, 0, 1) = \frac{1}{\pi} \frac{1}{x^2 + 1} \quad (2)$$

- Распределение Стьюдента $t(x, 0, 3)$ с тремя степенями свободы

$$t(x, 0, 3) = \frac{6\sqrt{3}}{\pi(3 + t^2)^2} \quad (3)$$

- Распределение Пуассона

$$P(k, 10) = \frac{10^k}{k!} e^{-10} \quad (4)$$

- Равномерное распределение

$$U(x, -\sqrt{3}, \sqrt{3}) = \begin{cases} \frac{1}{2\sqrt{3}} & \text{при } |x| \leq \sqrt{3} \\ 0 & \text{при } |x| > \sqrt{3} \end{cases} \quad (5)$$

2.2 Характеристики положения

- Выборочное среднее

$$\bar{x} = \frac{1}{n} \sum_{i=1}^n x_i \quad (6)$$

- Выборочная медиана

$$\text{med } x = \begin{cases} x_{(l+1)} & \text{при } n = 2l + 1 \\ \frac{x_{(l)} + x_{(l+1)}}{2} & \text{при } n = 2l \end{cases} \quad (7)$$

- Полусумма экстремальных выборочных элементов

$$z_R = \frac{x_{(1)} + x_{(n)}}{2} \quad (8)$$

- Полусумма квартилей

Выборочная квартиль z_p порядка p определяется формулой

$$z_p = \begin{cases} x_{([np]+1)} & \text{при } np \text{ дробном} \\ x_{(np)} & \text{при } np \text{ целом} \end{cases} \quad (9)$$

Полусумма квартилей

$$z_Q = \frac{z_{1/4} + z_{3/4}}{2} \quad (10)$$

- Усечённое среднее

$$z_{tr} = \frac{1}{n-2r} \sum_{i=r+1}^{n-r} x_{(i)}, \quad r \approx \frac{n}{4} \quad (11)$$

- Оценка дисперсии

$$D(z) = \overline{z^2} - \bar{z}^2 \quad (12)$$

2.3 Бокс-плот Тьюки

Боксплот (англ. box plot) — график, использующийся в описательной статистике, компактно изображающий одномерное распределение вероятностей. Такой вид диаграммы в удобной форме показывает медиану, нижний и верхний квартили и выбросы. Границами ящика служат первый и третий квартили, линия в середине ящика — медиана. Концы усов — края статистически значимой выборки (без выбросов). Длину «усов» определяют разность первого квартиля и полутора межквартильных расстояний и сумма третьего квартиля и полутора межквартильных расстояний. Формула имеет вид

$$X_1 = Q_1 - \frac{3}{2}(Q_3 - Q_1), \quad X_2 = Q_3 + \frac{3}{2}(Q_3 - Q_1) \quad (13)$$

где X_1 — нижняя граница уса, X_2 — верхняя граница уса, Q_1 — первый квартиль, Q_3 — третий квартиль. Данные, выходящие за границы усов (выбросы), отображаются на графике в виде маленьких кружков.

Выбросами считаются величины x , такие что

$$\begin{cases} x < X_1^T \\ x > X_2^T \end{cases} \quad (14)$$

2.4 Доверительные интервалы для параметров нормального распределения

2.4.1 Доверительный интервал для среднего значения m нормального распределения

Дана выборка (x_1, x_2, \dots, x_n) объёма n из нормальной генеральной совокупности. На её основе строим выборочное среднее \bar{x} и выборочное среднее квадратическое отклонение s . Параметры m и σ нормального распределения неизвестны.

Доказано, что случайная величина:

$$T = \sqrt{n-1} \cdot \frac{\bar{x} - m}{s} \quad (15)$$

называемая статистикой Стьюдента, распределена по закону Стьюдента с $n-1$ степенями свободы. Пусть $f_T(x)$ - плотность вероятности этого распределения. Тогда

$$\begin{aligned} P(-x < \sqrt{n-1} \cdot \frac{\bar{x} - m}{s} < x) &= P(-x < \sqrt{n-1} \cdot \frac{m - \bar{x}}{s} < x) = \\ &= \int_{-x}^x f_T(t) dt = 2 \int_0^x f_T(t) dt = 2 \left(\int_{-\infty}^x f_T(t) dt - \frac{1}{2} \right) = 2F_T(x) - 1 \end{aligned}$$

Здесь $F_T(x)$ - функция распределения Стьюдента с $n-1$ степенями свободы. Полагаем $2F_T(x) - 1 = 1 - \alpha$, где α - выбранный уровень значимости. Тогда $F_T(x) = 1 - \alpha/2$. Пусть $t_{1-\alpha/2}(n-1)$ - квантиль распределения Стьюдента с $n-1$ степенями свободы и порядка $1 - \alpha/2$. Из предыдущих равенств получаем

$$\begin{aligned} P\left(\bar{x} - \frac{sx}{\sqrt{n-1}} < m < \bar{x} + \frac{sx}{\sqrt{n-1}}\right) &= 2F_T(x) - 1 = 1 - \alpha, \\ P\left(\bar{x} - \frac{st_{1-\alpha/2}(n-1)}{\sqrt{n-1}} < m < \bar{x} + \frac{st_{1-\alpha/2}(n-1)}{\sqrt{n-1}}\right) &= 1 - \alpha \quad (16) \end{aligned}$$

что и даёт доверительный интервал для m с доверительной вероятностью $\gamma = 1 - \alpha$.

2.4.2 Доверительный интервал для среднего квадратического отклонения нормального распределения

Дана выборка (x_1, x_2, \dots, x_n) объёма n из нормальной генеральной совокупности. На её основе строим выборочную дисперсию s^2 . Параметры m и σ нормального распределения неизвестны.

Доказано, что случайная величина ns^2/σ^2 распределена по закону χ^2 с $n - 1$ степенями свободы.

Задаёмся уровнем значимости α и по таблице находим квантили $\chi_{\alpha/2}^2(n - 1)$ и $\chi_{1-\alpha/2}^2(n - 1)$. Это значит, что

$$P(\chi^2(n - 1) < \chi_{\alpha/2}^2(n - 1)) = \alpha/2 \quad P(\chi^2(n - 1) < \chi_{1-\alpha/2}^2(n - 1)) = 1 - \alpha/2$$

Откуда можно получить, что

$$P\left(\frac{s\sqrt{n}}{\sqrt{\chi_{1-\alpha/2}^2(n - 1)}} < \sigma < \frac{s\sqrt{n}}{\sqrt{\chi_{\alpha/2}^2(n - 1)}}\right) = 1 - \alpha \quad (17)$$

что и даёт доверительный интервал для σ с доверительной вероятностью $\gamma = 1 - \alpha$.

2.4.3 Доверительный интервал для среднего значения m произвольной генеральной совокупности при большом объёме выборки

Пусть

$$\Phi(x) = \frac{1}{\sqrt{2\pi}} \int_{-\infty}^x e^{-t^2/2} dt$$

- функция Лапласа. тогда

$$P\left(-x < \sqrt{n} \cdot \frac{\bar{x} - m}{\sigma} < x\right) \approx 2\Phi(x) - 1$$

Откуда

$$P\left(\bar{x} - \frac{\sigma x}{\sqrt{n}} < m < \bar{x} + \frac{\sigma x}{\sqrt{n}}\right) \approx 2\Phi(x) - 1$$

Положим $2\Phi(x) - 1 = \gamma = 1 - \alpha$. Пусть $u_{1-\alpha/2}$ - квантиль нормального распределения $N(0, 1)$ порядка $1 - \alpha/2$. Получим

$$P\left(\bar{x} - \frac{su_{1-\alpha/2}}{\sqrt{n}} < m < \bar{x} + \frac{su_{1-\alpha/2}}{\sqrt{n}}\right) \approx \gamma \quad (18)$$

что и даёт доверительный интервал для m с доверительной вероятностью $\gamma = 1 - \alpha$.

2.4.4 Доверительный интервал для среднего квадратического отклонения произвольной генеральной совокупности при большом объёме выборки

Пусть

$$\Phi(x) = \frac{1}{\sqrt{2\pi}} \int_{-\infty}^x e^{-t^2/2} dt$$

- функция Лапласа. Тогда

$$P\left(-x < \frac{s^2 - Ms^2}{\sqrt{Ds^2}} < x\right) \approx 2\Phi(x) - 1$$

Положим $2\Phi(x) - 1 = \gamma = 1 - \alpha$. Пусть $u_{1-\alpha/2}$ - квантиль нормального распределения $N(0, 1)$ порядка $1 - \alpha/2$. Получим

$$\sqrt{Ds^2} \approx \frac{\sigma^2}{\sqrt{n}} \sqrt{e+2}$$

$$s(1 + u_{1-\alpha/2} \sqrt{(e+2)/n})^{-1/2} < \sigma < s(1 - u_{1-\alpha/2} \sqrt{(e+2)/n})^{-1/2} \quad (19)$$

что и даёт доверительный интервал для σ с доверительной вероятностью $\gamma = 1 - \alpha$.

3 Описание работы

Лабораторная работа выполнена на языке программирования R. С помощью встроенных средств языка были сгенерированы выборки значений для 5 распределений (1 - 5), построены требуемые графики (рис. 1 - 15) и рассчитаны характеристики положения (таблицы 1 - 10). Исходный код лабораторной работы: <https://github.com/Darknessich/Statistics/tree/master/Lab1/>

4 Результаты

4.1 Гистограммы и графики плотности распределения

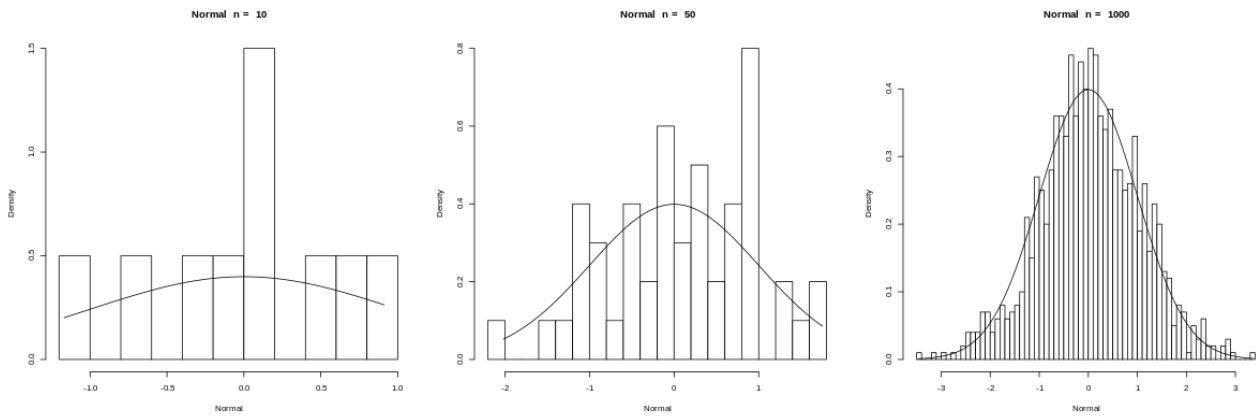


Рис. 1: Нормальное распределение (1)

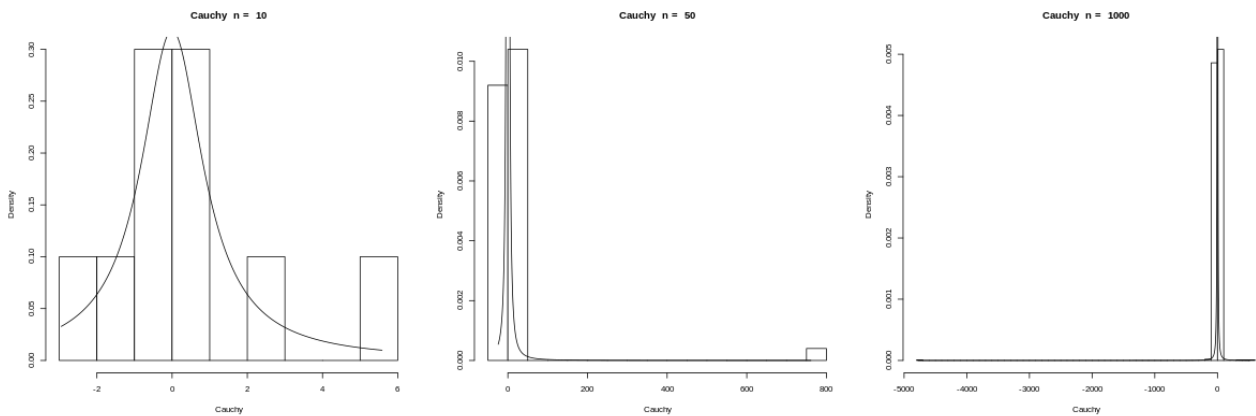


Рис. 2: Распределение Коши (2)

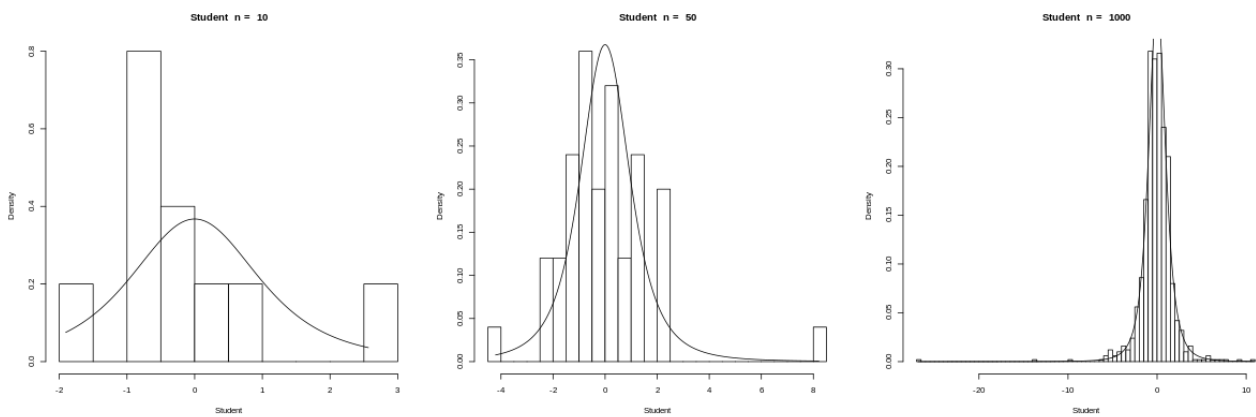


Рис. 3: Распределение Стьюдента (3)

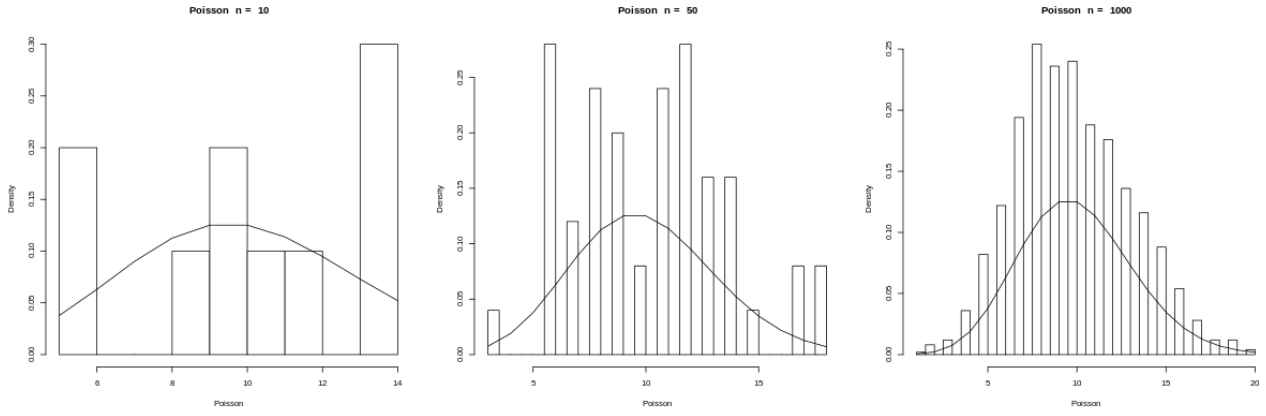


Рис. 4: Распределение Пуассона (4)

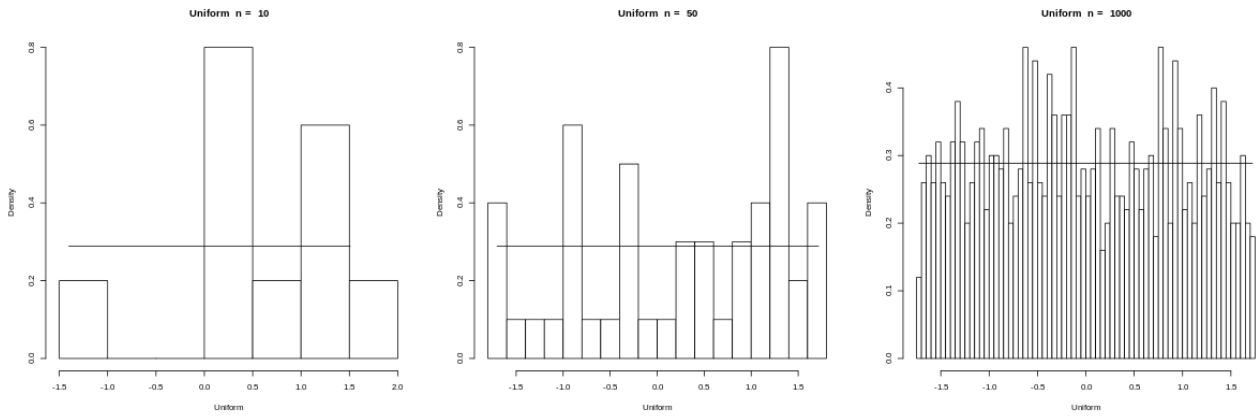


Рис. 5: Равномерное распределение (5)

4.2 Характеристики положения

normal n = 10					
	\bar{x} (6)	$med\ x$ (7)	z_R (8)	z_Q (10)	z_{tr} (11)
$E(z)$	$5,4 \cdot 10^{-3}$	$-4,4 \cdot 10^{-3}$	$-1,2 \cdot 10^{-2}$	$7,3 \cdot 10^{-3}$	$2,4 \cdot 10^{-2}$
$D(z)$ (12)	$3,2 \cdot 10^{-1}$	$3,7 \cdot 10^{-1}$	$4,4 \cdot 10^{-1}$	$3,5 \cdot 10^{-1}$	$4,1 \cdot 10^{-1}$
normal n = 100					
	\bar{x}	$med\ x$	z_R	z_Q	z_{tr}
$E(z)$	$-1,7 \cdot 10^{-3}$	$-2,0 \cdot 10^{-3}$	$-1,1 \cdot 10^{-2}$	$-1,3 \cdot 10^{-3}$	$-2,6 \cdot 10^{-3}$
$D(z)$	$9,5 \cdot 10^{-2}$	$1,2 \cdot 10^{-1}$	$2,9 \cdot 10^{-1}$	$1,1 \cdot 10^{-1}$	$1,4 \cdot 10^{-1}$
normal n = 1000					
	\bar{x}	$med\ x$	z_R	z_Q	z_{tr}
$E(z)$	$-7,0 \cdot 10^{-4}$	$-1,1 \cdot 10^{-3}$	$-8,9 \cdot 10^{-3}$	0,0	$5,0 \cdot 10^{-4}$
$D(z)$	$3,1 \cdot 10^{-2}$	$4,0 \cdot 10^{-2}$	$2,4 \cdot 10^{-1}$	$3,4 \cdot 10^{-2}$	$4,4 \cdot 10^{-2}$

Таблица 1: Нормальное распределение

cauchy n = 10					
	\bar{x} (6)	$med\ x$ (7)	z_R (8)	z_Q (10)	z_{tr} (11)
$E(z)$	$3,1 \cdot 10^{-1}$	$-6,7 \cdot 10^{-3}$	1,7	$-4,4 \cdot 10^{-2}$	$-9,7 \cdot 10^{-1}$
$D(z)$ (12)	$3,7 \cdot 10^1$	$5,7 \cdot 10^{-1}$	$1,8 \cdot 10^2$	$9,5 \cdot 10^{-1}$	$1,6 \cdot 10^1$
cauchy n = 100					
	\bar{x}	$med\ x$	z_R	z_Q	z_{tr}
$E(z)$	1,3	$5,3 \cdot 10^{-3}$	$6,6 \cdot 10^1$	$3,1 \cdot 10^{-3}$	3,6
$D(z)$	$5,2 \cdot 10^1$	$1,6 \cdot 10^{-1}$	$2,6 \cdot 10^3$	$2,4 \cdot 10^{-1}$	$8,9 \cdot 10^1$
cauchy n = 1000					
	\bar{x}	$med\ x$	z_R	z_Q	z_{tr}
$E(z)$	-6,4	$3,7 \cdot 10^{-3}$	$-3,2 \cdot 10^3$	$6,6 \cdot 10^{-3}$	-1,6
$D(z)$	$1,8 \cdot 10^2$	$5,0 \cdot 10^{-2}$	$9,2 \cdot 10^4$	$7,0 \cdot 10^{-2}$	$2,9 \cdot 10^1$

Таблица 2: Распределение Коши

student n = 10					
	\bar{x} (6)	$med\ x$ (7)	z_R (8)	z_Q (10)	z_{tr} (11)
$E(z)$	$-5,3 \cdot 10^{-3}$	$-4,5 \cdot 10^{-3}$	$-2,6 \cdot 10^{-2}$	$-3,0 \cdot 10^{-3}$	$-6,5 \cdot 10^{-3}$
$D(z)$ (12)	$5,3 \cdot 10^{-1}$	$4,4 \cdot 10^{-1}$	1,4	$4,3 \cdot 10^{-1}$	$6,6 \cdot 10^{-1}$
student n = 100					
	\bar{x}	$med\ x$	z_R	z_Q	z_{tr}
$E(z)$	$1,0 \cdot 10^{-2}$	$4,2 \cdot 10^{-3}$	$1,1 \cdot 10^{-1}$	$2,5 \cdot 10^{-3}$	$6,2 \cdot 10^{-3}$
$D(z)$	$1,7 \cdot 10^{-1}$	$1,4 \cdot 10^{-1}$	2,7	$1,4 \cdot 10^{-1}$	$2,4 \cdot 10^{-1}$
student n = 1000					
	\bar{x}	$med\ x$	z_R	z_Q	z_{tr}
$E(z)$	$3,1 \cdot 10^{-3}$	$-2,0 \cdot 10^{-4}$	$1,7 \cdot 10^{-1}$	$1,7 \cdot 10^{-3}$	$2,1 \cdot 10^{-3}$
$D(z)$	$5,5 \cdot 10^{-2}$	$4,4 \cdot 10^{-2}$	6,0	$4,4 \cdot 10^{-2}$	$7,7 \cdot 10^{-2}$

Таблица 3: Распределение Стьюдента

poisson n = 10					
	\bar{x} (6)	$med\ x$ (7)	z_R (8)	z_Q (10)	z_{tr} (11)
$E(z)$	$1,0 \cdot 10^1$	9.9	$1,0 \cdot 10^1$	9.9	$1,0 \cdot 10^1$
$D(z)$ (12)	1,0	1,2	1,4	1,1	1,3
poisson n = 100					
	\bar{x}	$med\ x$	z_R	z_Q	z_{tr}
$E(z)$	$1,0 \cdot 10^1$	9.9	$1,1 \cdot 10^1$	9.9	$1,0 \cdot 10^1$
$D(z)$	$3,0 \cdot 10^{-1}$	$4,1 \cdot 10^{-1}$	$9,6 \cdot 10^{-1}$	$3,8 \cdot 10^{-1}$	$4,3 \cdot 10^{-1}$
poisson n = 1000					
	\bar{x}	$med\ x$	z_R	z_Q	z_{tr}
$E(z)$	$1,0 \cdot 10^1$	$1,0 \cdot 10^1$	$1,2 \cdot 10^1$	$1,0 \cdot 10^1$	$1,0 \cdot 10^1$
$D(z)$	$9,6 \cdot 10^{-2}$	$3,5 \cdot 10^{-2}$	$8,1 \cdot 10^{-1}$	$3,6 \cdot 10^{-2}$	$1,4 \cdot 10^{-1}$

Таблица 4: Распределение Пуассона

uniform n = 10					
	\bar{x} (6)	$med\ x$ (7)	z_R (8)	z_Q (10)	z_{tr} (11)
$E(z)$	$1,8 \cdot 10^{-2}$	$8,9 \cdot 10^{-3}$	$1,5 \cdot 10^{-2}$	$2,2 \cdot 10^{-2}$	$5,9 \cdot 10^{-3}$
$D(z)$ (12)	$3,3 \cdot 10^{-1}$	$4,9 \cdot 10^{-1}$	$2,1 \cdot 10^{-1}$	$3,9 \cdot 10^{-1}$	$4,2 \cdot 10^{-1}$
uniform n = 100					
	\bar{x}	$med\ x$	z_R	z_Q	z_{tr}
$E(z)$	$-2,2 \cdot 10^{-3}$	$-4,5 \cdot 10^{-3}$	$-8,0 \cdot 10^{-4}$	$-3,0 \cdot 10^{-4}$	$4,0 \cdot 10^{-4}$
$D(z)$	$1,0 \cdot 10^{-1}$	$1,7 \cdot 10^{-1}$	$2,4 \cdot 10^{-2}$	$1,2 \cdot 10^{-1}$	$1,3 \cdot 10^{-1}$
uniform n = 1000					
	\bar{x}	$med\ x$	z_R	z_Q	z_{tr}
$E(z)$	$-6,0 \cdot 10^{-4}$	$5,0 \cdot 10^{-4}$	0,0	$-7,0 \cdot 10^{-4}$	$1,0 \cdot 10^{-4}$
$D(z)$	$3,1 \cdot 10^{-2}$	$5,4 \cdot 10^{-2}$	$2,4 \cdot 10^{-3}$	$3,9 \cdot 10^{-2}$	$4,4 \cdot 10^{-2}$

Таблица 5: Равномерное распределение

4.3 Бокс-плот Тьюки

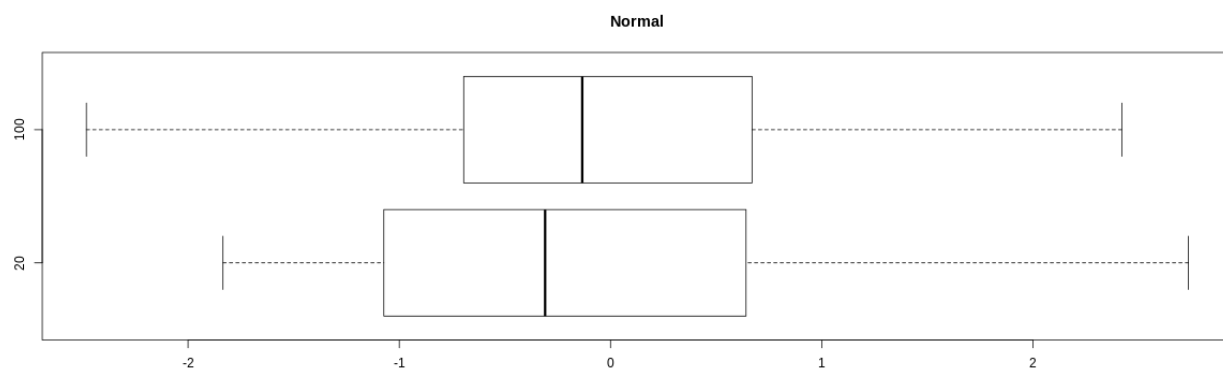


Рис. 6: Бокс-плот Тьюки для нормального распределения (1)

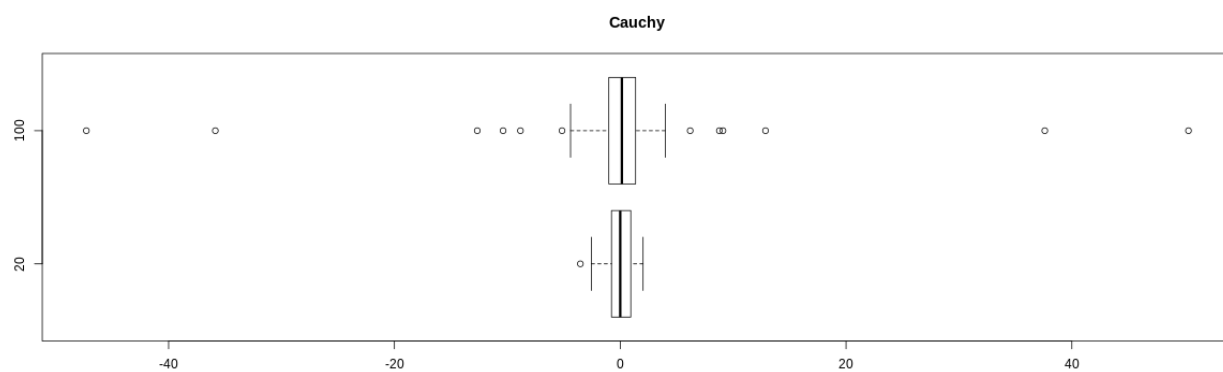


Рис. 7: Бокс-плот Тьюки для распределения Коши (2)

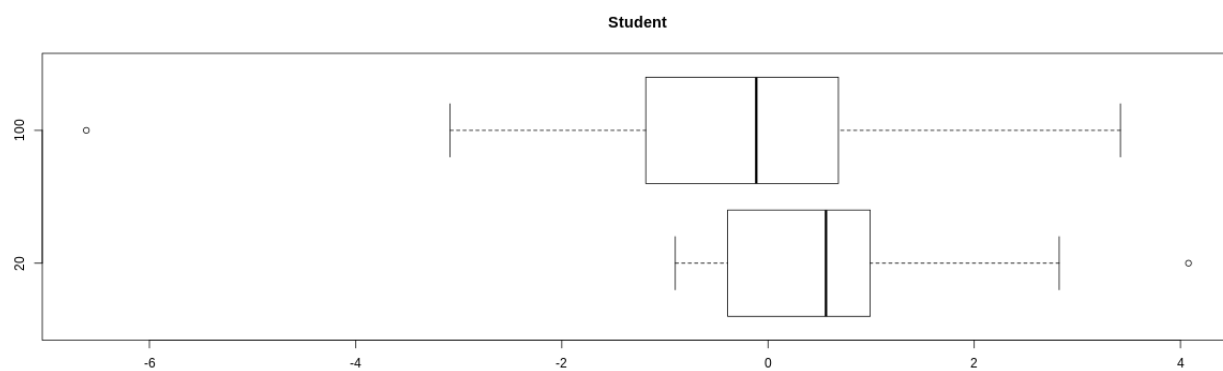


Рис. 8: Бокс-плот Тьюки для распределения Стьюдента (3)

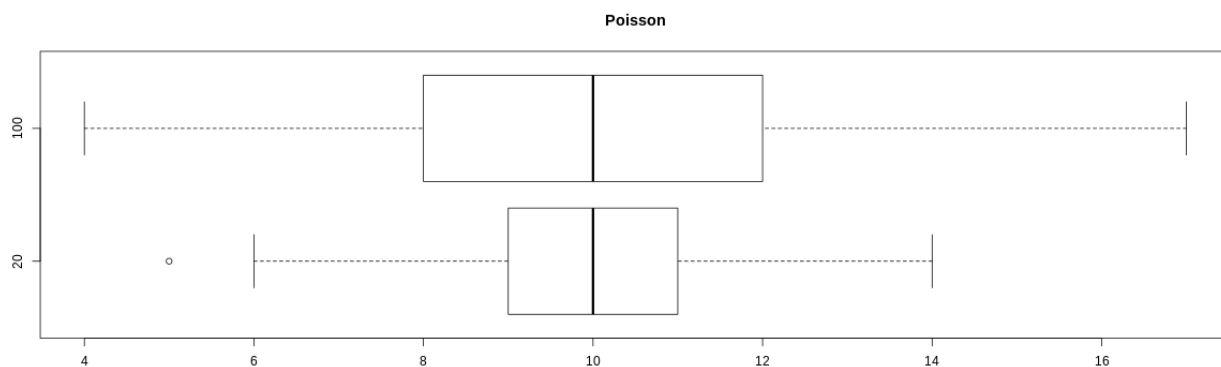


Рис. 9: Бокс-плот Тьюки для распределения Пуассона (4)

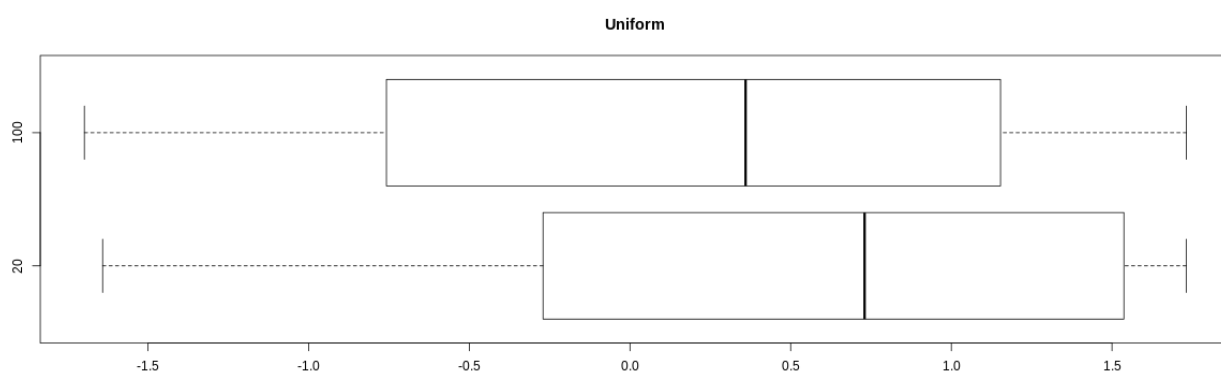


Рис. 10: Бокс-плот Тьюки для равномерного распределения (5)

4.4 Доверительные интервалы для параметров распределений

$n = 20$	$m(16)$	$\sigma(17)$
	$-0,46 < m < 0,37$	$0,67 < \sigma < 1,29$
$n = 100$	m	σ
	$-0,25 < m < 0,11$	$0,80 < \sigma < 1,10$

Таблица 6: Доверительные интервалы для параметров нормального распределения

$n = 20$	$m(18)$	$\sigma(19)$
	$-1,32 < m < 1,05$	$1,74 < \sigma < 3,68$
$n = 100$	m	σ
	$-1,10 < m < 1,13$	$3,31 < \sigma < 8,10$

Таблица 7: Доверительные интервалы для параметров распределения Коши

$n = 20$	$m(18)$	$\sigma (19)$
	$-0,85 < m < 0,73$	$0,98 < \sigma < 2,62$
$n = 100$	m	σ
	$0,0083 < m < 0,53$	$1,10 < \sigma < 1,58$

Таблица 8: Доверительные интервалы для параметров распределения Стюдента

$n = 20$	$m(18)$	$\sigma (19)$
	$8,36 < m < 10,74$	$1,62 < \sigma < 3,78$
$n = 100$	m	σ
	$9,30 < m < 10,54$	$2,75 < \sigma < 3,54$

Таблица 9: Доверительные интервалы для параметров распределения Пуассона

$n = 20$	$m(18)$	$\sigma (19)$
	$-0,47 < m < 0,31$	$0,73 < \sigma < 1,05$
$n = 100$	m	σ
	$-0,19 < m < 0,19$	$0,89 < \sigma < 1,07$

Таблица 10: Доверительные интервалы для параметров равномерного распределения

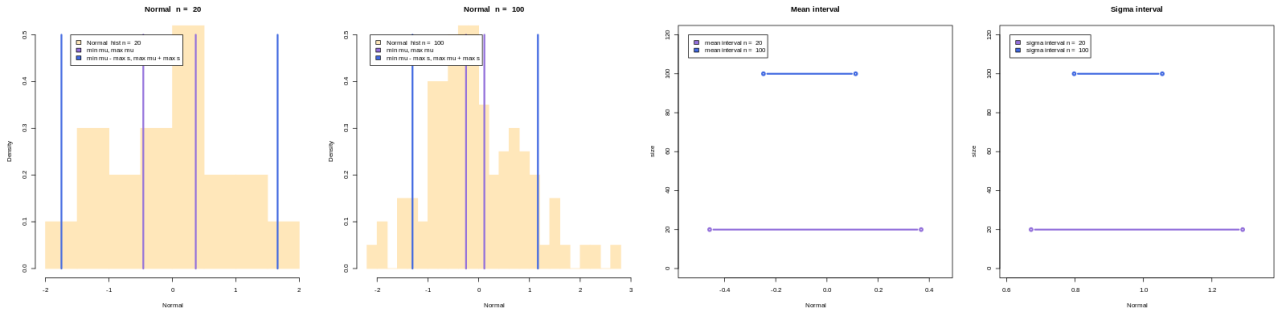


Рис. 11: Гистограммы и оценки для параметров нормального распределения

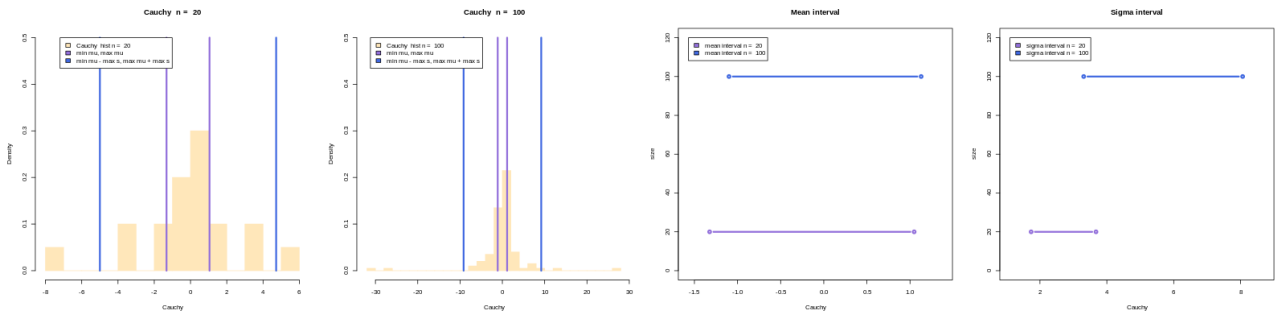


Рис. 12: Гистограммы и оценки для параметров распределения Коши

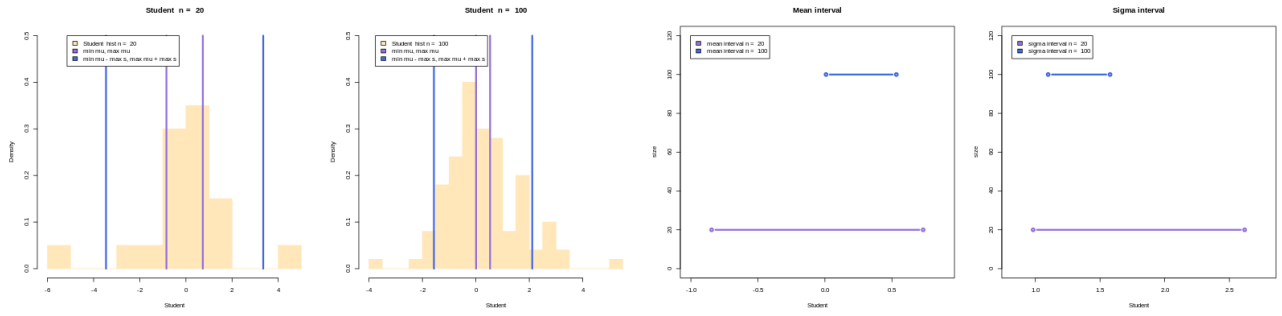


Рис. 13: Гистограммы и оценки для параметров распределения Сьюдента

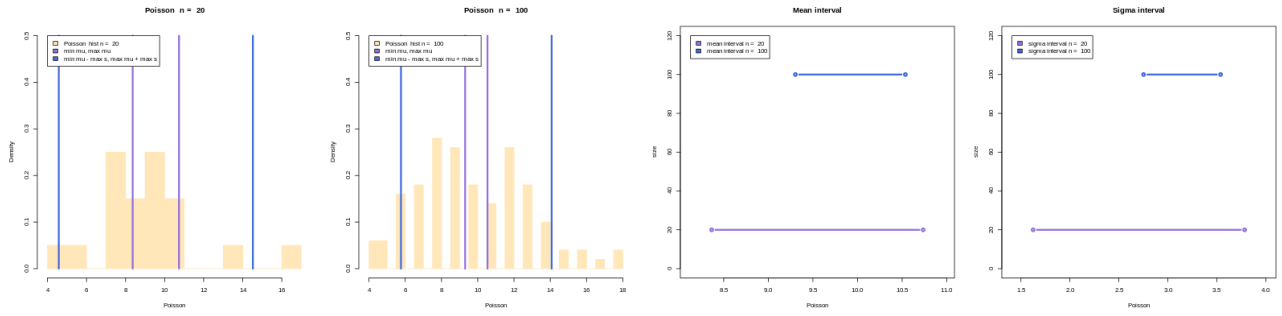


Рис. 14: Гистограммы и оценки для параметров распределения Пуассона

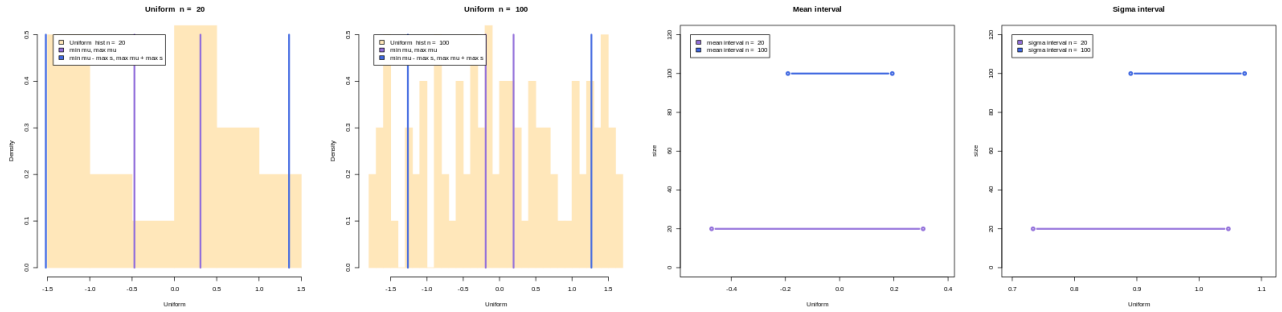


Рис. 15: Гистограммы и оценки для параметров равномерного распределения

5 Обсуждение

В ходе выполнения лабораторной работы (части 1 - 4) было изучено 5 видов распределений:

- Нормальное (1),
- Коши (2),
- Стьюдента (3),
- Пуассона (4),
- Равномерное (5).

В 1-ой части работы были построены гистограммы для каждого распределения на основании выборок по 10, 50 и 1000 элементов. Дополнительно на тех же рисунках были построены графики соответствующих распределений. Это было необходимо для сравнения форм распределения выборок с теоретическими моделями.

Во 2-ой части работы были рассмотрены следующие характеристики: выборочное среднее (6), выборочная медиана (7), полусумма экстремальных выборочных элементов (8), полусумма квартилей (10), усечённое среднее (11), дисперсия (12).

По полученным результатам можно сделать вывод о том, что чем больше выборка для выбранного распределения, тем точнее гистограмма приближает график плотности распределения вероятностей. Соответственно, чем меньше выборка, тем менее точно она позволяет судить о характере распределения величины.

Для нормального распределения (рис.1, таб.1) увеличение размера выборки приводит к тому, что оценки характеристик положения и рассеяния приближаются к их теоретическим значениям.

Для распределение Коши (рис.2, таб.2) оказалась характерна чувствительность к выбросам. Этим объясняются большие значения дисперсии характеристик рассеяния и нестабильность среднего значения. В этом случае медиана менее подвержена влиянию выбросов, т.к. она не зависит от значений в хвостах распределения. Выборочные квартили и полусумма экстремальных выборочных значений также могут быть неустойчивыми, поскольку распределение Коши не имеет конечного математического ожидания и дисперсии. При малом размере выборки оценки для распределения Стьюдента (рис.3, таб.3) также остаются неустойчивыми, но с увеличением выборки их точность растёт.

Для распределения Пуассона (рис.4, таб.4) медиана и среднее значение оказались практически схожими, что можно объяснить тем, что среднее значение

в данном распределении равно его параметру λ , и эти показатели становятся близкими с увеличением выборки. Таким образом, для распределения Пуассона и равномерного распределения (рис. 5, таб. 5) оценки характеристик положения и рассеяния остаются стабильными при любом размере выборки.

В ходе выполнения частей 3 и 4 лабораторной работы для 5-ти заданных распределений ((1) - (5)) были сгенерированы выборки по 20 и 100 элементов. На их основе были построены бокс-плоты Тьюки (рис. 6 - 10) и вычислены доверительные интервалы для параметров m (среднее значение) и σ (среднеквадратическое отклонение) нормального распределения и произвольного распределения (таб. 6, 7). Последние результаты были также представлены графически (рис. 11, 12).

На основании проведённого исследования можно сказать, что бокс-плоты Тьюки действительно позволяют оценивать значимые характеристики распределений более наглядно и с меньшими усилиями. Используя доверительные интервалы, можно оценить неопределённость среднего значения и стандартного отклонения параметров нормального и произвольного распределения. С увеличением размера выборки доверительный интервал уменьшается, а значит, оценить параметры можно более точно.

Вероятность выбросов в данных увеличивается с ростом объёма выборки. Для распределений с бесконечным носителем выбросы преимущественно можно наблюдать на бокс-плотах Тьюки для выборки размером 100 элементов (рис. 6 - 9). Равномерное распределение имеет конечный носитель, поэтому на рисунке 10 выбросов нет.